Sociedade Brasileira de Química (SBQ)

# [V,Al]-ITQ-18: Um novo catalisador bifuncional ácido/redox obtido da deslaminação do precursor lamelar [V,Al]-Nu-6(1).

Mendelssolm K. de Pietre (PG), Fábio Bonk (PQ), Heloise O. Pastore (PQ)\*.

Instituto de Química, Unicamp, Rua Monteiro Lobato, 270, CP 6154, Cidade Universitária, Campinas-SP, Brasil, CEP 13084-971, email: gpmmm@igm.unicamp.br

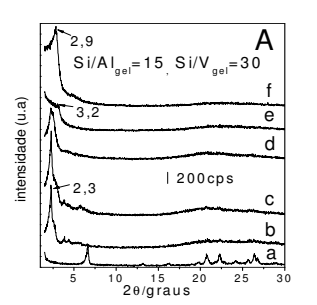
Palavras Chave: ITQ-18, peneira molecular, ácido, redox.

### Introdução

O ITQ-18 é formado a partir da deslaminação de um precursor lamelar, o Nu-6(1). O material ITQ-18 apresenta elevada área superficial externa (588 m<sup>2</sup>g<sup>-1</sup>), muito maior do que a do Nu-6(1) calcinado que é de apenas 35 m<sup>2</sup>g<sup>-1</sup>.[1] No presente trabalho sintetizou-se o inédito [V,Al]-ITQ-18, que pode ser um excelente catalisador bifuncional redox.

#### Resultados e Discussão

As figuras 1A e 1B correspondem às etapas de deslaminação dos precursores lamelares [V,Al]-Nu-6(1), nas razões molares de partida Si/Al e Si/V.



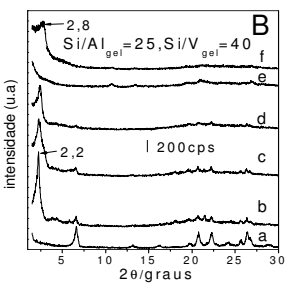


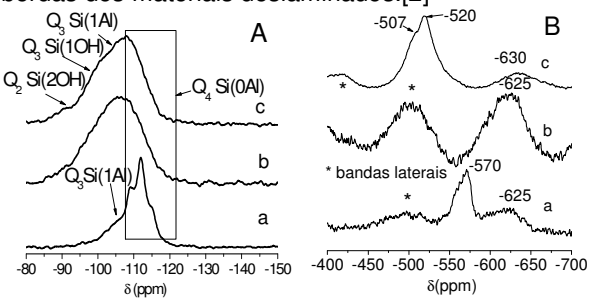
Figura 1. Difratogramas da síntese do [V,Al]-ITQ-18.

O precursor lamelar apresenta sinal em  $6,7^{\circ}(2\theta)$  correspondendo a uma distância interlamelar d=13,3Å (curvas a, Fig 1A e 1B). Após a intercalação com CTA<sup>+</sup>, observa-se o deslocamento do sinal em  $6,7^{\circ}$  para valores entre 2,2-2,3 $^{\circ}$  2 $\theta$ , correspondendo a uma nova distância interlamelar d=40,0Å (curvas b), confirmando que o surfactante intercalou entre as lamelas do precursor.

Após o tratamento em ultra-som e adição de ácido (curvas *c* e *d*), não se observa variações significativas em seus difratogramas em relação à curva *b* indicando que nenhuma variação estrutural relevante ocorreu. A calcinação dessas amostras leva ao inédito [V,Al]-ITQ-18 (curvas *e* e *f*). Os materiais deslaminados apresentam difratogramas com poucas reflexões, sugerindo grande extensão da deslaminação. Os sinais observados entre 2,8-3,2º (2θ), sugerem a presença de contaminantes, provavelmente, materiais mesoporos.

O espectro de  $^{29}$ Si-MAS-RMN do Nu-6(1) calcinado (Nu-6(2)), Fig. 2A, curva a, consiste de sítios Q<sub>4</sub> Si(0Al), predominantemente, enquanto os espectros dos materiais deslaminados, Fig. 2A (curvas b e c), apresentam majoritariamente, sinais

relativos às espécies  $Q_2$  Si(2OH) e  $Q_3$  Si(1OH) em - 91 e -98 ppm, indicando a predominância de grupos silanóis que são característicos de superfície e bordas dos materiais deslaminados.[2]



**Figura 2**. (A) Espectros de <sup>29</sup>Si-MAS-RMN: (a) Nu-6(2), (b) após US e calcinação e (c) após US, tratamento ácido e calcinação, da amostra Si/Al =15 e Si/V=30. (B) Espectros de <sup>51</sup>V-MAS-RMN (a) [V,Al]-Nu-6(1), (b) após US e calcinação e (c) após US, tratamento ácido e calcinação, da amostra Si/Al =15 e Si/V=30.

A presença de vanádio tetraédrico foi confirmada observando-se sinais em (-570, -625 e - 630ppm), no precursor lamelar e na amostra após ultra-som e calcinação (Fig. 2B, espectros a e b).[3] A amostra após US, tratamento ácido e calcinação (espectro c) mostrou a presença de vanádio octaédrico, com ressonâncias em -507 е -520 ppm, provavelmente extra-estruturais, precipitado pela adição de ácido. Entretanto, o sinal em -630 ppm, devido a presença de V<sup>5+</sup> tetraédrico, ainda está presente.

#### Conclusões

Pode-se concluir que a síntese do inédito [V,Al]-ITQ-18 foi realizada a contento, como observado por difração de raios-X e <sup>29</sup>Si MAS-RMN. A presença de vanádio tetracoordenado na estrutura foi observada por <sup>51</sup>V-MAS-RMN, sendo que o material deslaminado, após tratamento ácido, apresentou vanádio octaédrico indicando a presença de material extra-estrutural.

## Agradecimentos

Os autores agradecem à FAPESP e ao CNPq.

<sup>&</sup>lt;sup>1</sup> Corma, A.; Formes, V. e Díaz, U. Chem. Commun. 2001, 2642,

<sup>&</sup>lt;sup>2</sup> Frontera, P.; Testa, F.; Aiello, R.; Candamano, S. e Nagy, J.;B. *Microporous Mesoporous Mater.*, **2007** *106*, 107.

<sup>&</sup>lt;sup>3</sup> Dzwigaj, S. Curr. Opin. Solid State Mater. Sci. 2003, 7, 461.

<sup>&</sup>lt;sup>4</sup> Sivasanker, S.; Sem, T.; Ramaswamy, V.; Ganapathy, S. e Rajamohanan, P. R. *J. Phys. Chem.* **1996**, *100*, 3809.